

電磁界源分布推定の一考察

A Study of Electromagnetic Field Source Searching

山田尚生，斎藤兆古
H.Yamada, Y.Saito

遠矢弘和、畠山賢一、林昌世、増田幸一郎
H.Tohya,K.Hatakeyama,S.Hayashi,K.Masuda

法政大学 工学部
College of Engineering
Hosei University

日本電気（株）
NEC Corporation

1. はじめに

有従解答発問基多に用こり、
いり数のてる象論較解のするべく、
ななのそしす対理比をもつた述解法上に、
にう界合提推か析發問をしてする
普る電たを源分の・の然製把法上に、
なれ。れ題ドド來究こ依なを法上に、
汎らるる問ル従研は、的性
広いえ順一、な計が用要取り
の用つ加るイイは的設る実重
そにつがゆフ法格のいと Matching 題を具体
と析り力わらる技本機器でと
ゲ解りないあからか機器でと
シ恩界と知、布で解め、氣わ可の
シ磁能既る分答被した電使を題
イ電可にめど應數る。に析問
サのが間求ルのるい子等解
ンく析空を一そして電学の
機析問題成分布磁に問題、
算解の構ド電間逆、ら、C技術。
計値つでるな空るかは技い。
イ法で既や、ド、しし析
テ素待、ルしルうと。
機能期要はヤか一開提い。
機界解が分シ、シイ前な問題、
高境解部ソ。等をい逆く言基礎子。
能法的のいと大テる。定題て、なと基電子
性素析解する。外部質順帰は問題に性
高要解技あれ。外媒がなに例に問ら用
限来析でさやの確くと化と逆さ有

2. 逆問題の基礎

2. 1 逆問題の概念

の確立となる糸口を模索するのが本稿の目的である。

2. 2 逆問題の歴史

2.3 逆問題の分類とシステム方程式

よ期フ問本P
いがら逆と一
的な布題問題
的分問題で
解剖ドめる待
され解剖を
解剖め来がる。
に一求従がる。
は合イを解べ
類場フ因题析述
なれら逆ば類
は確さ所か、れ
明定局果は、れ
に測定して式
だがと、こ得程
未力題す。これが
未力題す。これが
ず入逆をる。情テ
らでP別れ知ス
拘件一区ら既シ
も条るなえにの
になす確考的題
的分問題で
歴く質S起こな
のら媒一にるき
上そなるとあで
以上おうすこて待
100年はよ定期
は。C源し新解
ある。C源し新解
で一との題
う待
題質問

2 3 1 順間體

$$\mathbf{C}\mathbf{X} = \mathbf{Y} \quad (1)$$

形に持くことによって、(1)式の係数行列 C は正方行列であり逆行列である。順問題は、(1)式の両辺に係数行列 C の逆行列を乗算し、
逆行列を求める問題である。

2.3.2 直接問題

(1)式で出力ベクトル \mathbf{X} が与えられ、入力ベクトル \mathbf{Y} を求める問題を考える。この問題は、出力が与えられ入力を求める問題であるため逆問題と解釈されがちであるが、単に出力ベクトル \mathbf{X} を(1)式に代入して入力ベクトル \mathbf{Y} を求める問題であり、解は一意的に求められるところから直接問題と分類される。

2.3.3 逆問題

直接問題では出力ベクトル \mathbf{X} の全てが与えられるとしたが、出力ベクトル \mathbf{X} の一部からなる部分出力ベクトル \mathbf{X}_p が与えられて入力ベクトル \mathbf{Y} を求める問題を考える。(1)式から出力ベクトル \mathbf{X} は、

$$\mathbf{X} = \mathbf{C}^{-1} \mathbf{Y} \quad (2)$$

で与えられる。いま、出力ベクトル \mathbf{X} は m 個の要素からなり、この中の n 個の要素からなる部分出力ベクトル \mathbf{X}_p に対して(2)式は、

$$\mathbf{X}_p = \mathbf{D} \mathbf{Y}$$

$$= \sum_{i=1}^m y_i \mathbf{d}_i$$

または、

$$\begin{bmatrix} \mathbf{x}_1 \\ \mathbf{x}_2 \\ \vdots \\ \mathbf{x}_n \end{bmatrix} = \begin{bmatrix} \mathbf{d}_{1,1} & \mathbf{d}_{1,2} & \cdots & \mathbf{d}_{1,n} \\ \mathbf{d}_{2,1} & \mathbf{d}_{2,2} & \cdots & \mathbf{d}_{2,n} \\ \vdots & \vdots & \ddots & \vdots \\ \mathbf{d}_{n,1} & \mathbf{d}_{n,2} & \cdots & \mathbf{d}_{n,n} \end{bmatrix} \begin{bmatrix} \mathbf{y}_1 \\ \mathbf{y}_2 \\ \vdots \\ \mathbf{y}_m \end{bmatrix} \quad (3)$$

と変形される。ここで、行列 \mathbf{D} は(2)式の逆行列 \mathbf{C}^{-1} の n 行 m 列からなる行列であり、 \mathbf{d}_i は n 個の要素からなる列ベクトル、さらに \mathbf{y}_i は入力ベクトル \mathbf{Y} の要素である。また、部分出力ベクトル \mathbf{X}_p は m 次の出力ベクトル \mathbf{X} の n 個の要素からなるから、

$$m > n \quad (4)$$

の条件が成り立つ。(3)、(4)式で m は未知数の数、 n は式の数に対応し、 \mathbf{Y} は既知入力ベクトル \mathbf{Y}_s の関数でない。すなわち、

$$\mathbf{Y} \neq f(\mathbf{Y}_s) \quad (5)$$

である。明らかに(5)式から一意的な入力ベクトル \mathbf{Y} を求ることは不可能である。このため、(3)(4)および(5)式の関係式が成り立つシステム方程式で記述される問題を I S 問題または強形式の逆問題(Strongly Ill-posed Inverse Problems)と分類する。(1)式でベクトル \mathbf{X} と \mathbf{Y} が与えられ、係数行列 \mathbf{C} を求める問題を考える。すなわち、対象空間の媒質パラメータを求める I P 問題である。(1)式で既知入力ベクトル \mathbf{Y}_s を与えた場合のシステム方程式を、

$$\mathbf{CX} = \mathbf{Y}_s \quad (6)$$

と書けるとする。(6)式で係数行列 \mathbf{C} の要素が求めるべき未知数である。いま、対象空間が、例えは空気などの既知媒質で満たされている場合の係数行列を \mathbf{C}_0 とすれば、(6)式は

$$\begin{aligned} \mathbf{C}_0 \mathbf{X} &= (\mathbf{C}_0 - \mathbf{C}) \mathbf{X} + \mathbf{Y}_s \\ &= \mathbf{Y} + \mathbf{Y}_s \end{aligned} \quad (7)$$

と変形できる。これは、未知媒質からなる係数行列 \mathbf{C} を求める問題が、等価入力ベクトル \mathbf{Y} [$= (\mathbf{C}_0 - \mathbf{C}) \mathbf{X}$] を求める問題に帰することを意味する。この入力ベクトル \mathbf{Y} は明らかに output ベクトル \mathbf{X} の関数であり、出力ベクトル \mathbf{X} は既知入力ベクトル \mathbf{Y}_s の関数であるから、結局、

$$\mathbf{Y} = (\mathbf{C}_0 - \mathbf{C}) \mathbf{X} = f(\mathbf{Y}_s) \quad (8)$$

が成り立つ。この関係から、出力ベクトル \mathbf{X} のすべてが既知でなくとも、各種の既知入力ベクトル \mathbf{Y}_s とその応答の部分出力ベクトル \mathbf{X}_p を測定することで、未知媒質からなる係数行列 C を求めることができる。特に、 X 線 CT ではフーリエ変換を用いて解析的に媒質推定が可能であることが証明されている。このことから、既知入力 \mathbf{Y}_s に対する部分出力ベクトル \mathbf{X}_p から媒質などのスカラー量を求める問題は I-P 問題または弱形式逆問題(Weakly Ill-posed Inverse Problems)と分類される。I-S 問題にならって I-P 問題に対するシステム方程式を導く。いま、(3)式と同様にして対象空間が既知媒質で占められている場合のシステム方程式は、 \mathbf{X}_p を既知入力ベクトル \mathbf{Y}_s に対する出力ベクトル \mathbf{X}_p の部分ベクトルとすれば、

$$\mathbf{X}_{p0} = \sum_{i=1}^m y_{is} \mathbf{d}_i \quad (9)$$

の形に書くことができる。対象空間が未知媒質を含む場合のシステム方程式も同様に(7)式から

$$\mathbf{X}_p = \sum_{i=1}^m (y_{is} + y_{i0}) \mathbf{d}_i \quad (10)$$

の形で書くことができる。ここで、 y_{is} は既知入力ベクトル \mathbf{Y}_s の要素であり、 y_{i0} は(8)式の媒質の違いに起因する等価入力ベクトル \mathbf{Y} の要素である。(10)式から(9)式を引算することで次式の I-P 問題に対するシステム方程式が導かれる。

$$\Delta \mathbf{X}_p = \mathbf{X}_p - \mathbf{X}_{p0} = \sum_{i=1}^m y_{i0} \mathbf{d}_i \quad (11)$$

または、 $\Delta \mathbf{X}_p = \mathbf{X}_p - \mathbf{X}_{p0}$ とすれば

$$\Delta \mathbf{X}_p = \sum_{i=1}^m y_{i0} \mathbf{d}_i \quad (11)$$

(11)式で、ベクトル \mathbf{X}_p と \mathbf{X}_{p0} さらに等価フィールド源 y_{i0} は既知入力ベクトル \mathbf{Y}_s によって異なる。しかし、ベクトル \mathbf{d}_i は、(7)式の行列 C_{ij} の逆行列で決まるため、(9)式と(10)式で共通である。(11)式から(8)式の関数関係を満足する $y_{i0}, i = 1 \sim m$, を求めれば、媒質の異なる部分が求められることとなる。以上の定義と分類は図1のように整理される。

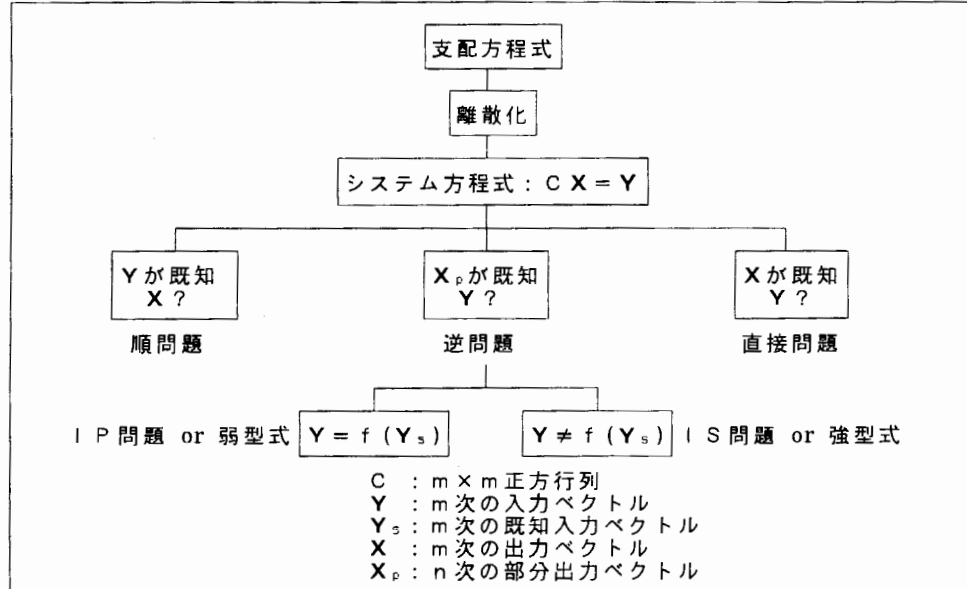


図1 逆問題の定義と分類。

2. 3. 4 逆問題の解析法

3. 逆問題の解析

3.1 Sampled Pattern Matching法

3. 1. 1 パイロット・ポイント解

$$\gamma_i = \frac{\mathbf{X}_p^\top \cdot \mathbf{d}_i}{\|\mathbf{X}_p\| \|\mathbf{d}_i\|}, i=1 \sim m \quad (12)$$

で最大値 y_h をとる点 h とすることである。この点をパイロット・ポイントと呼び、 d_h をパイロット・パターンと呼ぶ。第2ステップは、(3)式を、

$$\mathbf{X}^p = \sum_{j \neq h}^m y_{hi} (\mathbf{d}_h + \mathbf{d}_i), \quad i=1 \sim m, \quad i \neq h \quad (13)$$

と変形し、第2番目に支配的な入力を、

$$\gamma_{h,i} = \frac{\mathbf{X}_p^T \cdot (\mathbf{d}_h + \mathbf{d}_i)}{|\mathbf{X}_p| |\mathbf{d}_h + \mathbf{d}_i|}, \quad i=1 \sim m, \quad i \neq h, \quad (14)$$

で最大値 y_{hg} をとる点 g とすることである。この点 g を第二パイロット・ポイント, d_g を第二パイロット・パターンと呼ぶ。以後、同様な手順で問題に応じて必要な数のパイロット・ポイントを求める。従って、第 i 点の解は

$$y_i = \begin{cases} \text{パイロット・ポイントであれば} & 1 \\ \text{パイロット・ポイントでなければ} & 0 \end{cases} \quad (15)$$

で与えられることとなる。このように単位入力の分布による解パターンをパイロット・ポイント解(Pilot Point Solution)と呼ぶ。また、(3)式は

$$\frac{\mathbf{X}_p}{|\mathbf{X}_p|} = \sum_{i=1}^m \left(y_i \frac{|\mathbf{d}_i|}{|\mathbf{X}_p|} \right) \frac{\mathbf{d}_i}{|\mathbf{d}_i|} \quad (16)$$

と変形できるから、(15)式の解は、 $y_i |\mathbf{d}_i| / |\mathbf{X}_p|$ 、 $i = 1 \sim m$ 、と正規化されて求められるため、フィールド源 y_i の大きさだけでなくベクトル \mathbf{d}_i のノルムに依存する。換言すれば、フィールド源 y_i の値が大きくてもベクトル \mathbf{d}_i のノルムが小さいと正確に求められない。しかし、フィールド源 y_i の値が小さくてもベクトル \mathbf{d}_i のノルムが大きければ正確に求められることを意味する。一般に、電磁界系におけるベクトル \mathbf{d}_i は、多くの場合、Green関数の空間微分によって決まり、電磁界源が電磁界フィールドの測定部に接近している程そのノルムは大きい。このため、電磁界系では、フィールドの測定部に接近したフィールド源分布ほど正確に推定されることとなる。

<c>バイロット・ポイント解の理論的背景 SPM法は従来の線形代数で解決できない問題の解析を前提としている。この理論的根拠を神経回路網の連想記憶の原理を用いて考える。いま、(3)式を構成する列ベクトル \mathbf{d}_i 、 $i = 1 \sim m$ 、を正規化したベクトル $\mathbf{d}'_i = \mathbf{d}_i / |\mathbf{d}_i|$ 、 $i = 1 \sim m$ 、と対応する出力 Γ_i 、

$$\begin{aligned} \mathbf{d}'_1 &\text{ と } \Gamma_1 = [1, 0, 0, \dots, 0]^T \\ \mathbf{d}'_2 &\text{ と } \Gamma_2 = [0, 1, 0, \dots, 0]^T \\ \vdots & \\ \mathbf{d}'_m &\text{ と } \Gamma_m = [0, 0, 0, \dots, 1]^T \end{aligned}$$

を用いて、シナプス結合を次式

$$W = \sum_{i=1}^m \Gamma_i (\mathbf{d}'_i)^T \quad (17)$$

で決定するとすれば、(17)式は m 個の入力点に単位入力がある場合のベクトル \mathbf{d}'_i 、 $i = 1 \sim m$ 、を教師信号 Γ_i 、 $i = 1 \sim m$ 、で学習させたNNであることを意味する。従って、正規化された既知ベクトル $\mathbf{X}_p' = \mathbf{X}_p / |\mathbf{X}_p|$ がこのNNに入力された場合の出力は、

$$\Gamma = W \cdot \mathbf{X}_p' \quad (18)$$

となる。(18)式の出力ベクトル Γ は、(12)式の y_i 、 $i = 1 \sim m$ 、を要素とする列行列となる。いま、このNNの閾値を単純なマツカーロピツツ型のように一定値とせず、 Γ を構成する要素の最大値とすれば、SPM法の第1ステップの出力と一致する。この第1バーセプトロンの出力を第 h 点とすれば、 $\mathbf{d}_h + \mathbf{d}_i$ 、 $i = 1 \sim m$ 、 $i \neq h$ 、を正規化したベクトル $(\mathbf{d}_h + \mathbf{d}_i)' = (\mathbf{d}_h + \mathbf{d}_i) / |\mathbf{d}_h + \mathbf{d}_i|$ と対応する出力 Γ_{hi} 、

$$\begin{aligned} (\mathbf{d}_h + \mathbf{d}_1)' &\text{ と } \Gamma_{h1} = [1, 0, 0, \dots, 0]^T \\ (\mathbf{d}_h + \mathbf{d}_2)' &\text{ と } \Gamma_{h2} = [0, 1, 0, \dots, 0]^T \\ \vdots & \\ (\mathbf{d}_h + \mathbf{d}_m)' &\text{ と } \Gamma_{hm} = [0, 0, 0, \dots, 1]^T \end{aligned}$$

を用いて、シナプス結合を次式

$$W' = \sum_{i \neq h}^m \Gamma_{hi} (\mathbf{d}_h + \mathbf{d}_i)'^T \quad (19)$$

で決定するとすれば、(19)式は第 h 点と $m - 1$ 個の入力点に単位入力がある場合のベクトル $(\mathbf{d}_h + \mathbf{d}_i)'$ 、 $i = 1 \sim m$ 、 $i \neq h$ 、を教師信号 Γ_{hi} 、 $i = 1 \sim m$ 、 $i \neq h$ 、で学習させたNNであることを意味する。従って、正規化させた既知ベクトル \mathbf{X}_p' がこのNNに入力された場合の出力は、

$$\Gamma' = W' \cdot \mathbf{X}_p' \quad (20)$$

となる。(20)式の出力ベクトル Γ' は(14)式の y_{hi} 、 $i = 1 \sim m$ 、 $i \neq h$ 、を要素とする $m - 1$ 次の列行列となる。いま、このNNの閾値を一定値とせず、 Γ' を構成する要素の最大値とすれば、SPM法の第2ステップの出力と一致する。以上のことから、SPM法は、教師付き学習を解析的に行い、閾値を一定値とせず出力の最大値とする、NNの一種であることがわかる。

3. 1. 2 一般化因子分析解

SPM法の第1ステップを実行する(12)式は、因子分析法と全く同じである。第2ステップの(14)式は、支配方程式(3)を(13)式のように変形できると仮定した因子分析である。従って、SPM法は一種の一般化した因子分析法である。SPM法で、最初と2番目のバイロット・ポイントをそれぞれ第hとg点として、全体でk個のバイロット・ポイントを求めたとすれば、最大値を1に正規化した一般化因子分析解は、

$$\begin{aligned} y_1 \frac{|\mathbf{d}_1|}{|\mathbf{X}_p|} &\simeq \frac{1}{k} \frac{\mathbf{X}_p^\top}{|\mathbf{X}_p|} \cdot \left(\frac{\mathbf{d}_1}{|\mathbf{d}_1|} + \frac{\mathbf{d}_h + \mathbf{d}_1}{|\mathbf{d}_h + \mathbf{d}_1|} + \frac{\mathbf{d}_h + \mathbf{d}_g + \mathbf{d}_1}{|\mathbf{d}_h + \mathbf{d}_g + \mathbf{d}_1|} + \dots \right), \\ y_2 \frac{|\mathbf{d}_2|}{|\mathbf{X}_p|} &\simeq \frac{1}{k} \frac{\mathbf{X}_p^\top}{|\mathbf{X}_p|} \cdot \left(\frac{\mathbf{d}_2}{|\mathbf{d}_2|} + \frac{\mathbf{d}_h + \mathbf{d}_2}{|\mathbf{d}_h + \mathbf{d}_2|} + \frac{\mathbf{d}_h + \mathbf{d}_g + \mathbf{d}_2}{|\mathbf{d}_h + \mathbf{d}_g + \mathbf{d}_2|} + \dots \right), \\ \dots \\ y_h \frac{|\mathbf{d}_h|}{|\mathbf{X}_p|} &\simeq \frac{1}{k} \left(\frac{\mathbf{X}_p^\top \cdot \mathbf{d}_h}{|\mathbf{X}_p| \cdot |\mathbf{d}_h|} + 1 + 1 + \dots \right), \\ \dots \\ y_g \frac{|\mathbf{d}_g|}{|\mathbf{X}_p|} &\simeq \frac{1}{k} \left(\frac{\mathbf{X}_p^\top \cdot \mathbf{d}_g}{|\mathbf{X}_p| \cdot |\mathbf{d}_g|} + \frac{\mathbf{X}_p^\top \cdot \mathbf{d}_h + \mathbf{d}_g}{|\mathbf{X}_p| \cdot |\mathbf{d}_h + \mathbf{d}_g|} + 1 + \dots \right), \\ \dots \\ y_m \frac{|\mathbf{d}_m|}{|\mathbf{X}_p|} &\simeq \frac{1}{k} \frac{\mathbf{X}_p^\top}{|\mathbf{X}_p|} \left(\frac{\mathbf{d}_m}{|\mathbf{d}_m|} + \frac{\mathbf{d}_h + \mathbf{d}_m}{|\mathbf{d}_h + \mathbf{d}_m|} + \frac{\mathbf{d}_h + \mathbf{d}_g + \mathbf{d}_m}{|\mathbf{d}_h + \mathbf{d}_g + \mathbf{d}_m|} + \dots \right), \end{aligned} \quad (21)$$

で与えられる。

3. 1. 3 非直交 Space Power Spectrum解

任意の線形空間を張るベクトルUとVの角度φは、

$$\phi = \cos^{-1} \left[\frac{\mathbf{U}^\top \cdot \mathbf{V}}{|\mathbf{U}| |\mathbf{V}|} \right] \quad (22)$$

で与えられる。従って、SPM法のパターン一致指數[(12)式の y_i 、(14)式の y_{hi}]は明らかに線形空間における角度の一一致を評価する方法であり、m個ある入力点の中で既知ベクトル \mathbf{X}_p に最も平行となるベクトル \mathbf{d}_i 、 $i=1 \sim m$ 、の組み合わせを得ようとする方法である。換言すれば、既知ベクトル \mathbf{X}_p の作る空間分布波形を \mathbf{d}_i 、 $i=1 \sim m$ 、の作る空間分布波形に展開する空間波形のフーリエ展開とも考えられる。限定された空間で既知ベクトル \mathbf{X}_p が得られるため、各入力点の作る空間分布波形は互いに直交するとは限らない。従って、このフーリエ展開は不完全フーリエ展開となる。非直交 Space Power Spectrum法(以下、SPS法と略記)とは、フーリエ級数が周期波形の直交性を前提とするのに対し、直交性の成立しない空間波形にフーリエ級数的な手法を展開する不完全フーリエ級数法の一種である。(3)式は、明らかに既知ベクトル \mathbf{X}_p がフィールド源の大きさ y_i と空間波形ベクトル \mathbf{d}_i の積和で与えられることを示している。換言すれば、 y_i は空間座標上のスペクトラムの大きさを表し、 \mathbf{d}_i は空間分布波形を表すベクトルである。(3)式の両辺をベクトル \mathbf{X}_p のノルム $|\mathbf{X}_p|$ で正規化すると、(16)式と同じ形、

$$\frac{\mathbf{X}_p}{|\mathbf{X}_p|} = \sum_{i=1}^m \left(\frac{|\mathbf{d}_i|}{|\mathbf{X}_p|} y_i \right) \frac{\mathbf{d}_i}{|\mathbf{d}_i|} = \sum_{i=1}^m y_i' \frac{\mathbf{d}_i}{|\mathbf{d}_i|} \quad (23)$$

と変形できる。ここで、 y_i' は、正規化されたフィールド源の空間スペクトラムであって、(21)式の正規化された解の形と一致し、

$$y_i' = \frac{|\mathbf{d}_i|}{|\mathbf{X}_p|} y_i \quad (24)$$

で与えられる。(24)式は、正規化されたフィールド源の空間スペクトラム y_i' が空間波形ベクトル \mathbf{d}_i のノルムに比例することを意味する。これは、空間波形ベクトル \mathbf{d}_i のノルムが大きい程、正規化されたフィールド源の空間スペクトラム y_i' は大きくなり、正確に求まることとなる。(23)式と正規化された空間分布波形ベクトル $\mathbf{d}_i / |\mathbf{d}_i|$ の内積をとると、

$$\frac{\mathbf{X}_p^T \cdot \mathbf{d}_i}{|\mathbf{X}_p| \cdot |\mathbf{d}_i|} = \gamma_i' + \sum_{j \neq i}^m \gamma_j' \frac{\mathbf{d}_i^T \cdot \mathbf{d}_j}{|\mathbf{d}_i| \cdot |\mathbf{d}_j|} \quad (25)$$

を得る。(25)式でベクトル \mathbf{d}_i と \mathbf{d}_j ($i \neq j$) が直交するならば、右辺第2項は零となって γ_i' は厳密に求まる。すなわち、ベクトル \mathbf{d}_i と \mathbf{d}_j ($i \neq j$) が直交すれば、(12)式で与えられる SPM 法のパターン一致指数 γ_i' は(24)式で与えられる正規化されたフィールド源のスペクトラム γ_{hg}' に他ならない。しかし、実際は、(25)式の右辺第2項は、

$$-1 < \frac{\mathbf{d}_i^T \cdot \mathbf{d}_j}{|\mathbf{d}_i| \cdot |\mathbf{d}_j|} < 1, \quad i \neq j \quad (26)$$

であって、ベクトル \mathbf{d}_i と \mathbf{d}_j ($i \neq j$) 間で完全に直交性が成立とは限らない。従って、(12)式のパターン一致指数 γ_i' は正規化されたフィールド源の空間スペクトラム γ_{hg}' の第1近似を与えることとなる。次に(25)式で最大値をとる空間波形分布ベクトル \mathbf{d}_h と残りの空間波形分布ベクトル \mathbf{d}_i ($i=1 \sim m$, $i \neq h$) を合成した空間波形分布ベクトルに既知空間波形分布ベクトル \mathbf{X}_p が分解されると仮定する。すなわち、(13)式で第1ステップで求められた \mathbf{d}_h のベクトルに他のベクトル \mathbf{d}_i ($i \neq h$) を追加することは、 \mathbf{d}_i が \mathbf{d}_h と異なる $x-y-z$ 空間座標である場合、フィールドの測定面にベクトル \mathbf{d}_h だけで与えられる空間波形パターン(例えば+と-の2極の磁界分布)以外の空間波形パターンを(例えば4極の磁界分布)追加してパターンのマッチングを行うスペクトラムのアナリシスである。(13)式から(25)式と同様にして、正規化されたフィールド源ベクトルの空間スペクトラム γ_{hg}' を求めると、

$$\frac{\mathbf{X}_p^T \cdot (\mathbf{d}_h + \mathbf{d}_g)}{|\mathbf{X}_p| \cdot |\mathbf{d}_h + \mathbf{d}_g|} = \gamma_{hg}' + \sum_{\substack{i \neq h \\ i \neq g}}^m \gamma_{hi}' \frac{(\mathbf{d}_h + \mathbf{d}_i)^T \cdot (\mathbf{d}_h + \mathbf{d}_g)}{|\mathbf{d}_h + \mathbf{d}_i| \cdot |\mathbf{d}_h + \mathbf{d}_g|} \quad (27)$$

で与えられる。(27)式から(14)式のパターン一致指数の最大値 γ_{hg}' は(27)式の空間スペクトラム γ_{hg}' の第1近似となる。以上のことから、SPM 法のパターン一致指数 γ は、正規化されたフィールド源の近似空間スペクトラムに対応することがわかる。

3.1.4 Parallel Sampled Pattern Matching法

強型式逆問題はフィールド源を求める問題である。ここでは具体的な例として、ある導体中に電流が流れている電磁界系を考える。この導体の周辺では磁界が測定可能である。また、導体表面に直接接触すれば表面電位、すなわち導体表面の電界分布も測定可能である。さらに、導体中に電流が流れているから抵抗損が熱源となって発熱するため、導体表面の熱分布も測定できる。このように電磁界源分布を推定する逆問題では、独立に測定できるフィールド量が存在する。それぞれ独立に測定された磁界や電界からそれぞれの源を SPM 法で並列に推定し、その結果の相関をとることで、より高精度に電磁界源分布を求める方法が並列 SPM 法の原理である。

3.2 EMC 問題と並列 SPM 法

3.2.1 三次元磁界系のシステム方程式

三次元空間の磁界 \mathbf{H} と電流密度 \mathbf{J} の関係を積分形で表すと、 V を電流が流れる領域の体積として、次式

$$\mathbf{H} = \nabla \times \int_V G \mathbf{J} dV \quad (28)$$

で与えられる。ここで、 G は Green 関数である。(28)式で電流が流れる領域が ΔV の体積を持つ m 個の領域に分割でき、各領域で電流密度 \mathbf{J} が一定値 \mathbf{J}_i をとるものとすれば \mathbf{J} 点の磁界の強さ \mathbf{H}_i は

$$\mathbf{H}_i = \sum_{j=1}^m \frac{\mathbf{J}_j \times \mathbf{a}_{ij} \cdot \Delta V}{4\pi r_{ij}^2} \quad (29)$$

と与えられる。ここで、 \mathbf{a}_{ij} は距離 r_{ij} 方向の単位ベクトル、 $G = 1/4\pi r$ 、さらに、電流双極子は $\mathbf{J} \cdot \Delta V$ である。(29)式から(3)式と同じ形のシステム方程式が導かれる。

3.2.2 EMC 問題

近年デジタル計算機の小型・高速化の要求から、CPU動作周波数の高周波化のみならず、電源回路部の高周波化がなされ、その成果は大型汎用計算機からノートパソコン更にワードプロセッサー等に生かされている。計算機で代表される電子機器の動作周波数の高周波化に伴い電子機器から漏れる電磁界が周辺の人体や他の機器へ与える影響がクローズアップされつつある。この問題は EMC 問題と呼ばれ、電子機器のより小型・高速化と普及に必然的に伴う問題である。特に電子機器のどの部分から電磁界が漏洩する

かの推定は、最も基本的で重要な問題点である。本稿では漏洩電磁界源推定問題は、局所的な電磁界分布の測定から漏洩電磁界源分布を求める逆問題であることに着目し、振幅データと位相データを併用する空間位相問題に適用する。

< a > 仮定 第1の仮定は、測定点までの距離は比較長く、磁界の空間に充分な周波数が10MHzであるとする。この仮定は、例えば漏洩電磁界の点で磁界が測定されるとすれば、漏洩電磁界の測定対象時間はその波長の30/0.05=1/600の点に相当し、充分無視できることがわかる。第2の仮定は、漏洩電磁界が測定される領域が独立して存在する。すなはち、漏洩電磁界は漏洩電流の測定対象時間で漏洩電流が測定できることとなる。

< b > 漏洩電磁界源分布の推定結果 図3に実験装置のイラストが示してある。X-方向260mm, Y-方向160mmの長方形の測定面を対象から5mm上方に位置して設置する。対象面はX-Y=10mmとし、△X=△Y=10mmで測定面は3×3の交点で対角線に沿って並列に配置する。対象面にはループアンテナが設置され、1MHzで励振された鉄板電流が分布している。図4に推定結果を示す。図4(a)と4(b)はそれぞれの大きさで、相関を示す。両者共に不鮮明さが多く含まれているため、最も積分部の内積を取った結果である。図4(c)は図4(a)実数部と対象部の内積を取った結果である。明らかに図4(c)は、実験データはN E CのEMCの結果から、実際の実験で得られる磁界の振幅情報を用いて、並列SPM法で漏洩電磁界源を推定した結果、実験的事実よく反映した結果を得ることができ、並列SPM法がEMC問題の有力な一方法であることを検証された。

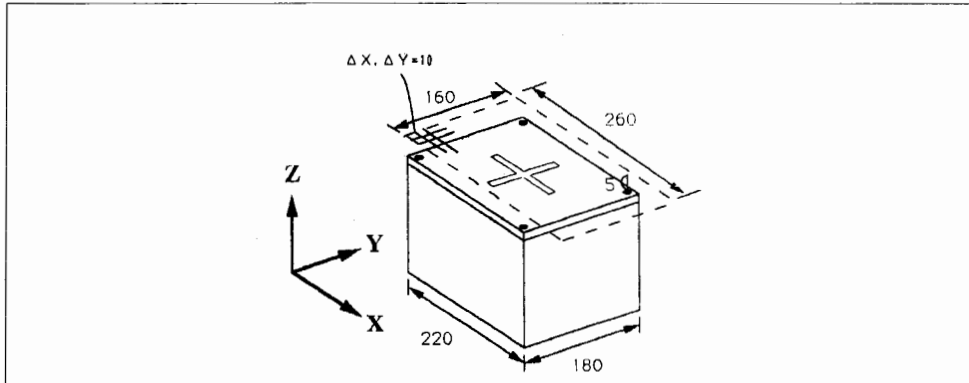


図3 供試実験装置。

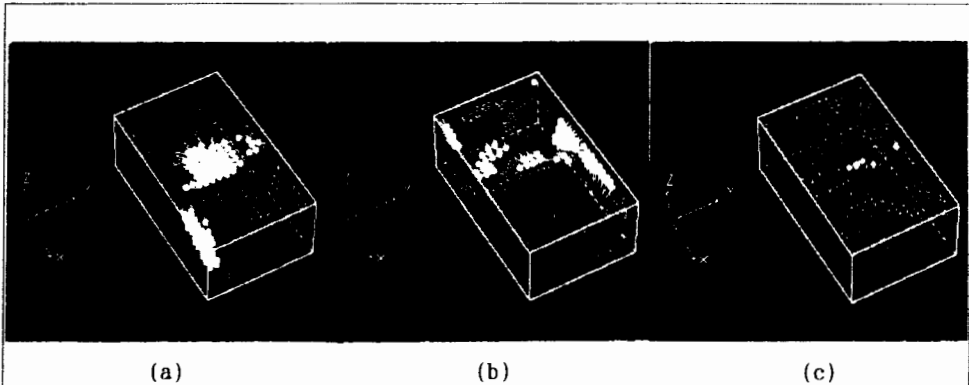


図4 推定された三次元電流分布。(a)実数部、(b)虚数部、(c)実数部と虚数部の内積による相関をとった結果。 $n=1681, m=153600$ 。

5. まとめ

本稿では、現時点未だに完成していない未来の学問である逆問題の概要について述べた。その主な内容は、逆問題の概念、逆問題の定義と分類、電磁界系における逆問題の基礎方程式とシステム方程式、逆問題解析の一方法であるSPM法の基礎理論、さらに電磁界系逆問題の具体的応用例として、EMC問題解決の基礎となる漏洩磁界源探査を取り上げた。

参考文献

- [1] G.Anger, "Inverse Problems in Differential Equations," (Plenum Press, New York and London 1990).
- [2] 岩井他, 編著 "医用画像診断装置 - CT, MRIを中心として-", ニロナ社, 1991年7月.
- [3] K.Watanabe et al., K.Atsumi, et al Ed., Biomagnetism'87, Tokyo Denki Univ. Press, Japan(1988), pp.346-353.
- [4] 内川義則、他, "電気刺激による体性感覚誘発磁界計測, Vol.13, No.3(1989), pp.508-512.
- [5] Y.Nakaya et al., Journal of Electrocardiology 21 (2), 1988, pp.165-173.
- [6] 林昌世、他, 電子通信情報学会研究会資料 A P92-25/EMCJ92-8, pp.15-20.
- [7] G.ストラング著, 山口昌哉、井上昭訳, "線形代数とその応用," (産業図書, 平成元年5月)。
- [8] T.H.Wonnacott & R.J.Wonnacott, "Introductory Statistics," (John Wiley & Sons, New York, 1969), p.167.
- [9] 日野幹雄, "スペクトル解析," (朝倉書店, 1977年10月)。
- [10] 中野馨 編著, "ニューロコンピュータの基礎," (コロナ社, 1990年4月)。
- [11] Y.Saito et al., J. Appl. Phys., Vol.67, No.9, Mar(1990) pp.5530-5832.
- [12] 板垣英美 法政大学大学院工学研究科修士論文, 1991年3月.
- [13] H.Saotome et al., Int.J.Appl. Electromag. Matris, Elsevier, Vol.3, No.4, April (1993) pp.297-306
- [14] 早乙女英夫、他、電気学会論文誌A, 第112巻4号(1992) pp.279-286.
- [15] 早乙女英夫、他、電気学会論文誌C, 第113巻1号(1993) pp.69-76.
- [16] Y.Saito et al., Elsevier Studies in Applied Electromagnetics in Materials Vol.3, Jan. 1993, pp.185-188.
- [17] H.Saotome et al., Proceedings of the 1st Japan-CIS Joint Seminar on Electromagnetomechanics in Structures, Jan.1992, pp.81-84.
- [18] 早乙女英夫、他、電気学会マグネティックス研究会資料, MAG-91-219, 1991年10月.
- [19] 早乙女英夫、他、電気学会マグネティックス研究会資料, MAG-92-71, 1992年2月.
- [20] 早乙女英夫、他、電気学会マグネティックス研究会資料, MAG-92-79, 1992年3月.
- [21] 橋田和泰、他、電気学会マグネティックス研究会資料, MAG-91-220, 1991年10月.
- [22] H.Saotome et al., Elsevier Studies in Applied Electromagnetics in Materials Vol.3, Jan. 1993, pp.73-76.
- [23] K.Kitsuta et al., Elsevier Studies in Applied Electromagnetics in Materials Vol.3, Jan. 1993, pp.77-80.
- [24] 橋田和泰、他、電気学会マグネティックス研究会資料, MAG-92-80, 1992年3月.
- [25] H.Saotome et al., IEEE Trans. Magn., Mar. (1993) pp.1389-1394.
- [26] 山田尚生、他、電子情報通信学会研究会資料, EMCJ92-80, 1993年1月, pp.7-12.
- [27] 山田尚生、他、電気学会マグネティックス研究会資料, MAG-92-135.
- [28] 土井達也、他、電気学会マグネティックス研究会資料 MAG-92-136.
- [29] T.Doi et al., Proceedings of the Second Japan-Hungary Joint Seminar on Applied Electromagnetics in Materials and Computational Technology, Hokkaido Univ. Press, 1992, Sapporo, pp.61-66.
- [30] H.Saotome et al., IEEE Trans. Magn., March (1993) pp.1861-1864.
- [31] 橋田和泰、他、日本生体磁気学会誌特別号, Vol.5, No.1, June(1992), pp.100-103.
- [32] K.Kitsuta et al., Proceedings of the Second Japan-Hungary Joint Seminar on Applied Electromagnetics in Materials and Computational Technology, Hokkaido Univ. Press, 1992, Sapporo, pp.17-23.
- [33] 橋田和泰、他、電気学会マグネティックス研究会資料, MAG-92-134.
- [34] K.Kitsuta et al., Proceedings of the 1st Japan-CIS Joint Seminar on Electromagnetomechanics in Structures, Jan.1992, pp.89-92.
- [35] 橋田和泰、他、電子情報通信学会研究会資料, EMCJ92-79, 1993年1月, pp.1-6.
- [36] 橋田和泰 法政大学大学院工学研究科修士論文, 1993年3月.

原稿受付日

平成5年7月1日